高張力鋼板の冷間プレス成形





リアランス

1. 高張力鋼板とプレス成形

4.伸びフランジ性を向上させる破断面平

2.決押しによるスプリングバックの低減3.伸びフランジ性における最適せん断ク

- 5.伸びフランジ性を向上させる逐次接触
- 6. 高張力鋼板とアルミニウム合金板の塑性接合

- 軽量自動車部品の成形 -

100kg軽量:1km/l燃費向上

軽量材料の成形

- 超高張力鋼板
- アルミニウム,マグネ チタン



自動車車体への高張力鋼板の適用



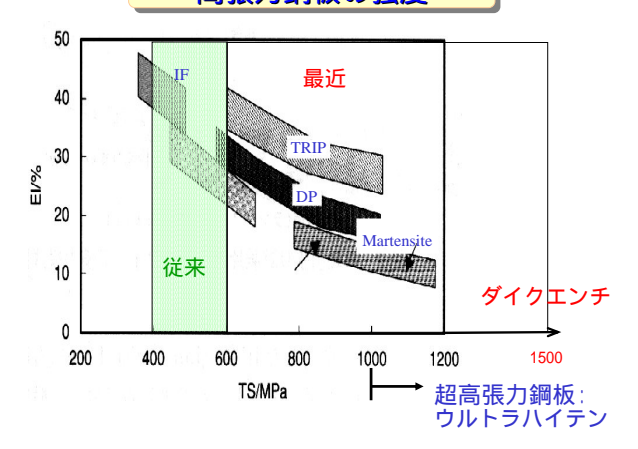




トヨタ クラウン, 骨格部 材の45%が高張力鋼板

骨格部材:36%

高張力鋼板の強度

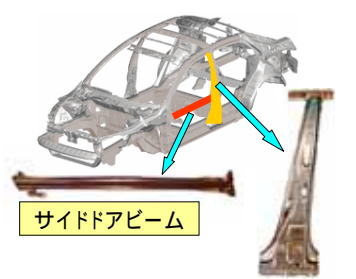


自動車用板材の比較

					_
板材	引張強さ	比重	比強度	コスト(1kg 当り)	生産量
ウルトラハイテ ン	980 ~ 1470MPa	7.8	126 ~ 188MPa	100円程 度	鉄:12億 ton
従来ハイテン	490 ~ 790MPa	7.8	63 ~ 101MPa		
軟鋼板 SPCC	340MPa	7.8	44MPa		
アルミ合金板 A6061(T6処理)	310MPa	2.7	115MPa	500円~ 600円	アルミ: 3400万ton
マグネシウム 合金板 AZ31	270MPa	1.8	137MPa	3000円程 度	マグネ:60 万ton

超高張力鋼板の自動車部材への適用

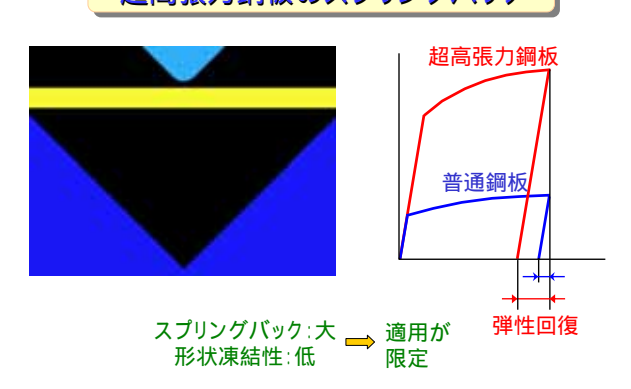
超高張力鋼板:1GPa以上



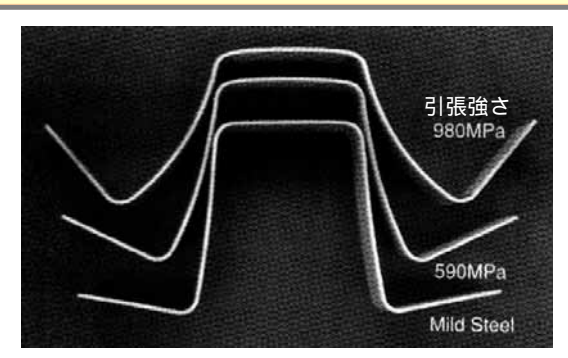
- 高強度 プレス能力 金型摩耗・破損 スプリングバック
- ・低延性 割れ

センターピラー

超高張力鋼板のスプリングバック



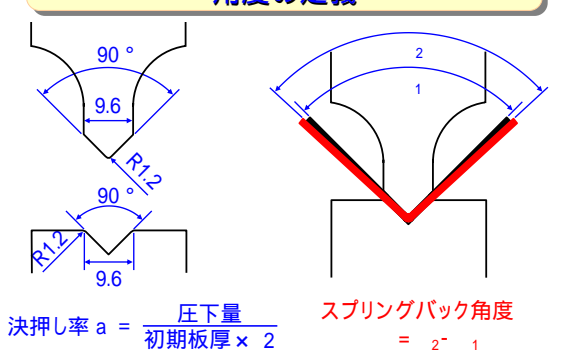
高張力鋼板のハット曲げにおけるスプリングバック



岩谷: プレス技術, 42-8(2004), 43

- 1. 高張力鋼板とプレス成形
- 2. 決押しによるスプリングバックの低減
- 3.伸びフランジ性における最適せん断ク リアランス
- 4.伸びフランジ性を向上させる破断面平滑加工
- 5.伸びフランジ性を向上させる逐次接触 パンチ
- 6. 高張力鋼板とアルミニウム合金板の塑性接合

V曲げ加工における金型形状,決押し率・ 角度の定義



V曲げの変形挙動



(a) SPCC

(b) SPFC980Y

v=24mm/s, f=0%, T=0.5s

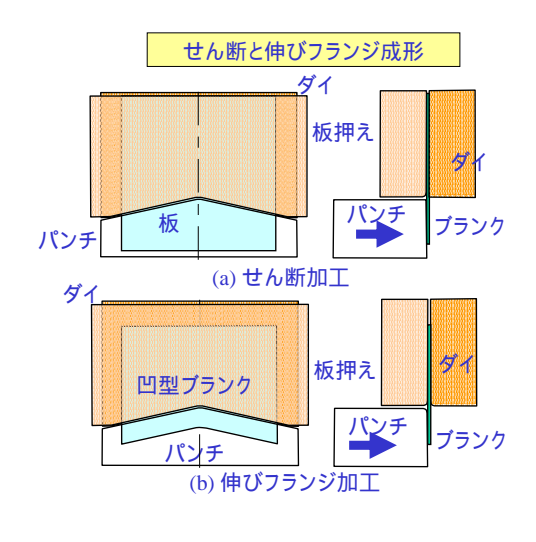
V曲げにおけるスプリングバック角度と加工速度の関係 (SPFC980Y) a=0%, T=0.1s a=5%, T=0.1s a=5%, T=0.5s number of the provided HTML (SPFC980Y)

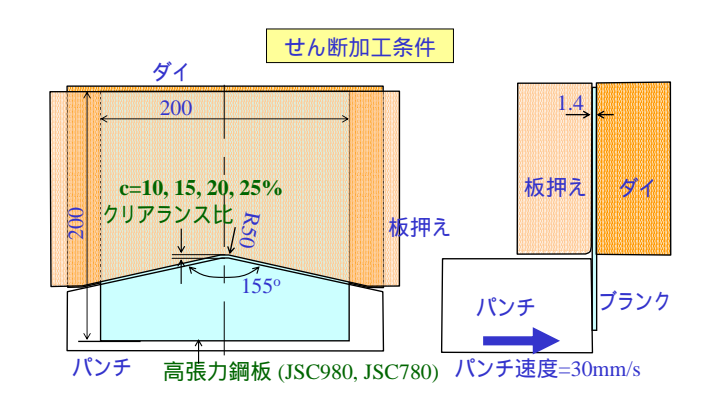
- 1. 高張力鋼板とプレス成形
- 2. 決押しによるスプリングバックの低減
- 3.伸びフランジ性における最適せん断ク リアランス
- 4.伸びフランジ性を向上させる破断面平 滑加工
- 5.伸びフランジ性を向上させる逐次接触 パンチ
- 6. 高張力鋼板とアルミニウム合金板の塑性接合



穴抜き・穴広げ加工される鋼板

材料名	板厚 mm	降伏応力 mm	引張強さ MPa	伸び %	n値
JSC270C	1.39	223	333	41.2	0.19
JSC390W	1.39	283	389	35.8	0.18
JSC440W	1.41	320	455	33.8	0.19
JSC590R	1.40	438	603	25.9	0.15
JSC780Y	1.47	558	823	19.0	0.12
JSC980Y	1.41	620	1027	18.7	0.12





伸びフランジ成形条件 1.4 板押え 板押え

パンチ

パンチ速度=30mm/s

かえり側

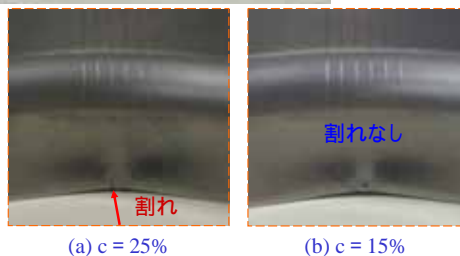
けがき フランジ長さL=~40mm(1mm毎)

凹形ブラン

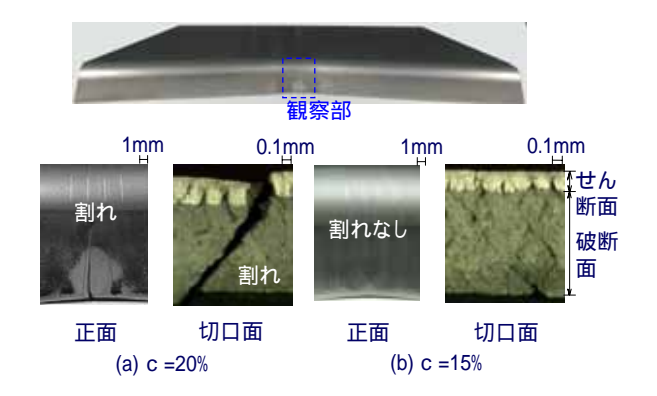
パンチ

フランジ割れにおよぼすせん断クリアランス比の影響 (JSC780Y, L=17mm)

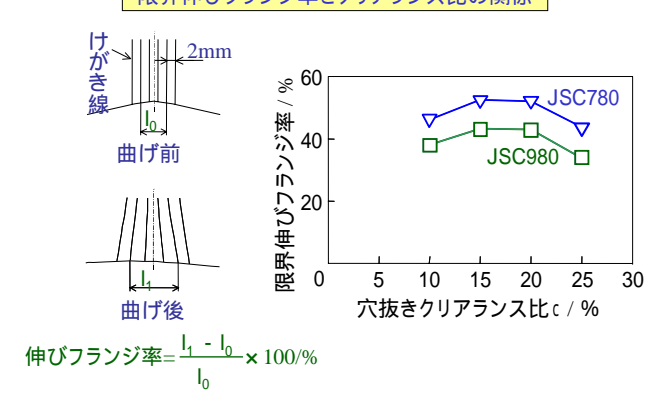




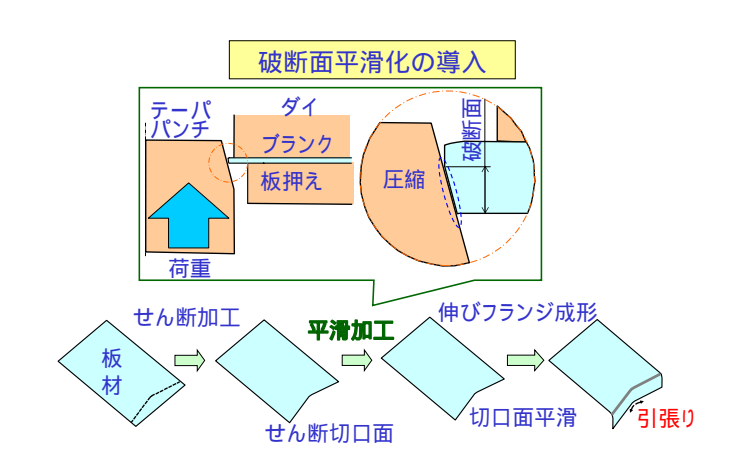
実験による限界伸びフランジ率におよぼすせん断クリ アランス比の影響 (JSC980Y, L=15mm, 平坦パンチ)

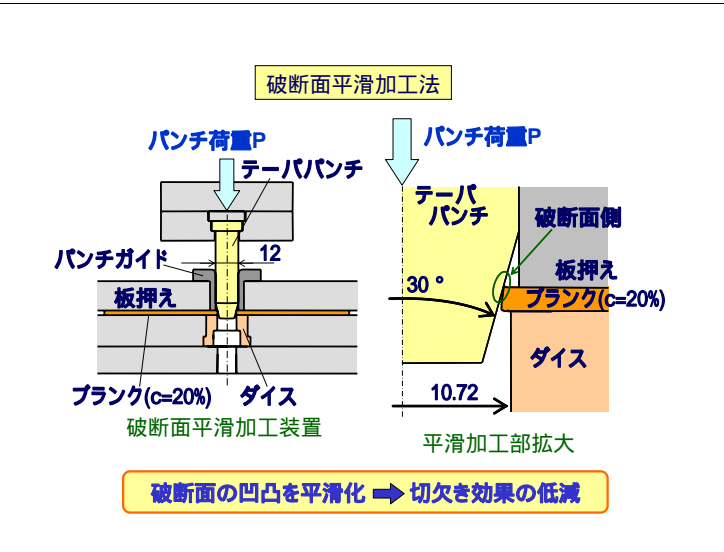


限界伸びフランジ率とクリアランス比の関係



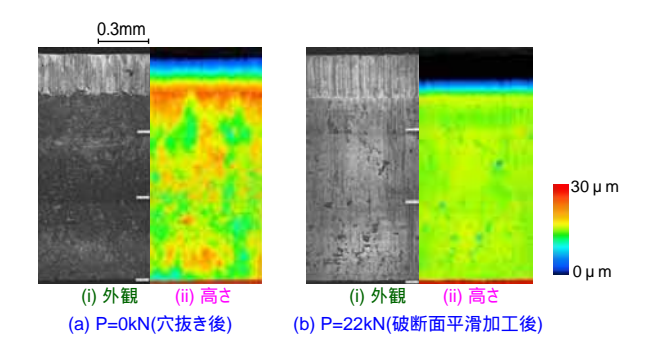
- 1. 高張力鋼板とプレス成形
- 2. 決押しによるスプリングバックの低減
- 3.伸びフランジ性における最適せん断ク リアランス
- 4.伸びフランジ性を向上させる破断面平 滑加工
- 5. 伸びフランジ性を向上させる逐次接触
- 6. 高張力鋼板とアルミニウム合金板の塑 性接合

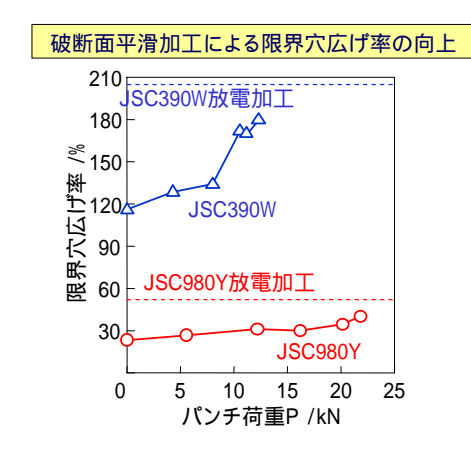


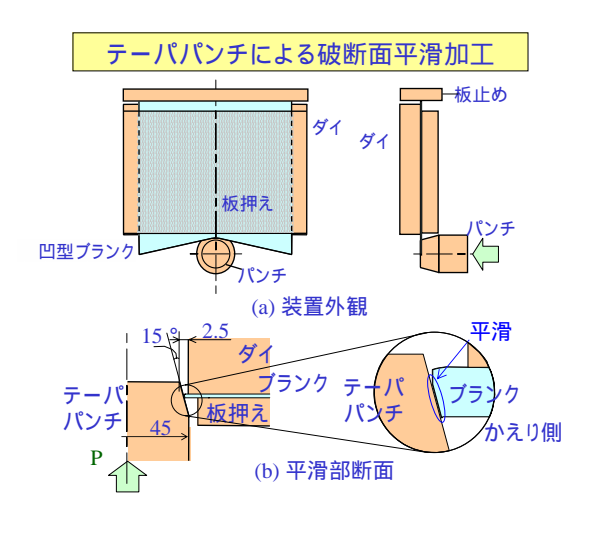


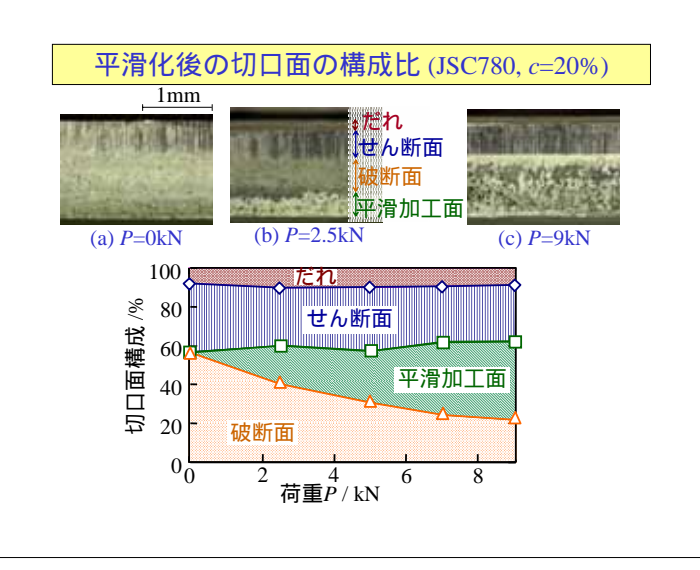


破断面平滑加工後のせん断切口面(JSC980Y)

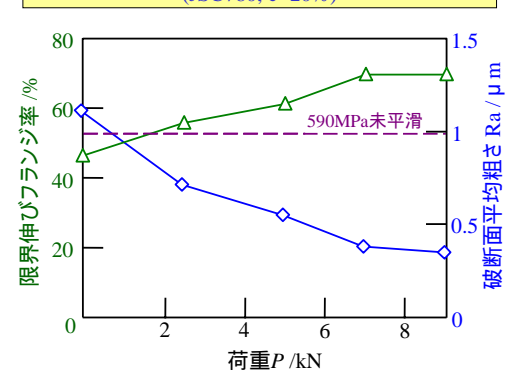




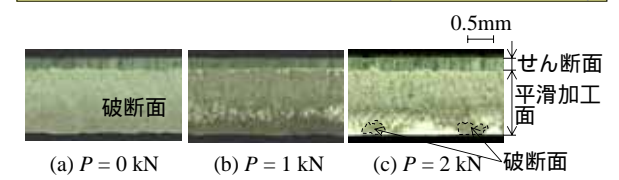




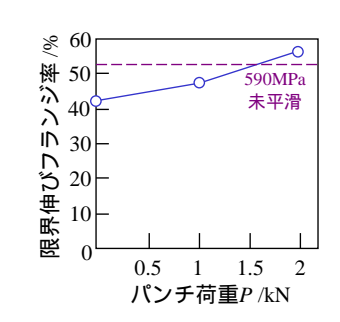
平滑化による限界伸びフランジ率の向上 (JSC780, c=20%)



破断面平滑加工前後の切口面(JSC980Y, c=15%)



破断面平滑化による伸びフランジ成形性 の向上(JSC980Y, c=15%)

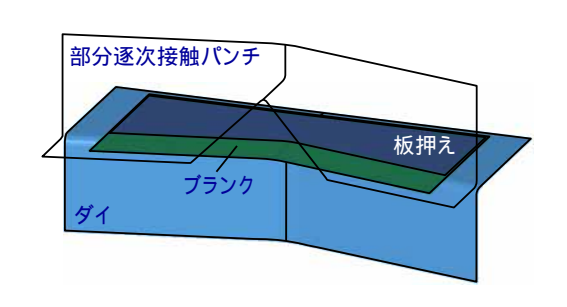


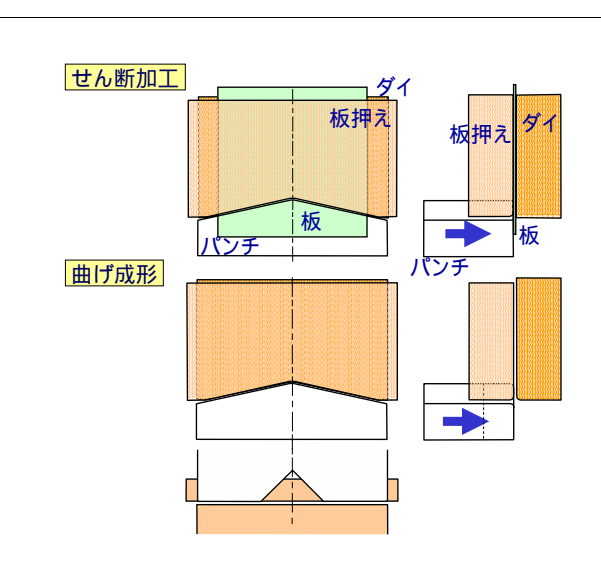
- 1. 高張力鋼板とプレス成形
- 2. 決押しによるスプリングバックの低減
- 3.伸びフランジ性における最適せん断ク リアランス
- 4.伸びフランジ性を向上させる破断面平滑加工
- 5.伸びフランジ性を向上させる逐次接触 パンチ
- 6 . 高張力鋼板とアルミニウム合金板の塑 性接合

(a) 平坦パンチ (頃斜角度10°) 引張低減 (b) 逐次接触パンチ (頃斜角度45°) 超高張力鋼板における伸びフランジ割れを

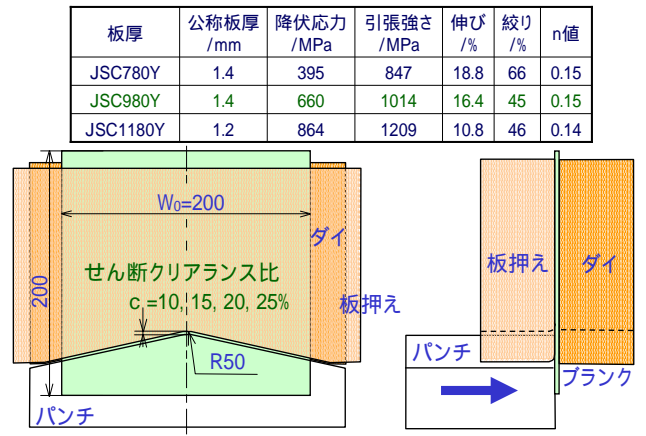
防止する逐次接触パンチ形状の最適化

部分逐次接触パンチによる伸びフランジ曲げ成形

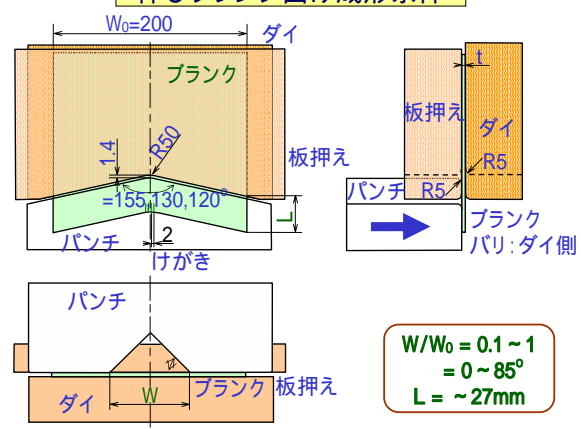




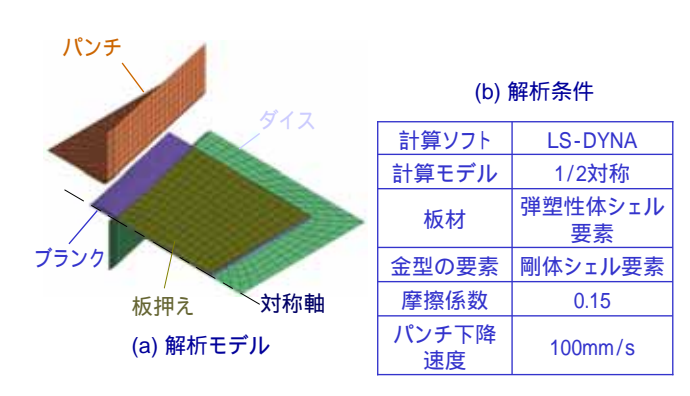
超高張力鋼板とせん断加工条件



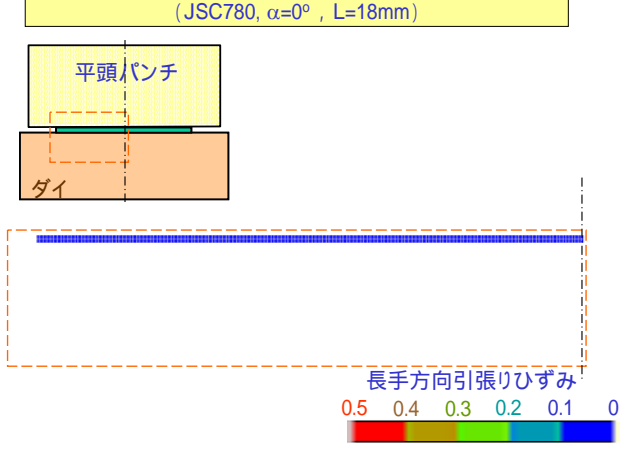
伸びフランジ曲げ成形条件



伸びフランジ曲げ成形の解析条件

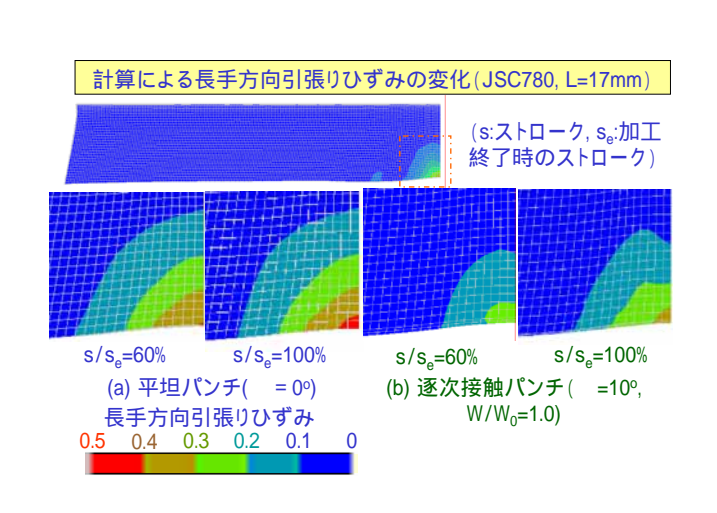


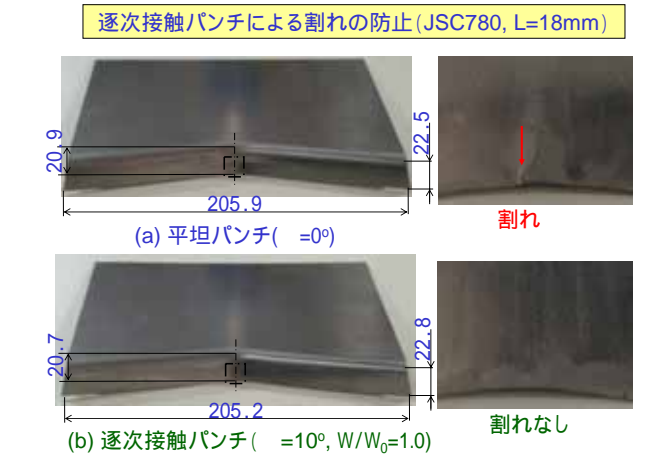
平坦パンチによる長手方向の引張りひずみ分布 (JSC780, α =0°, L=18mm)

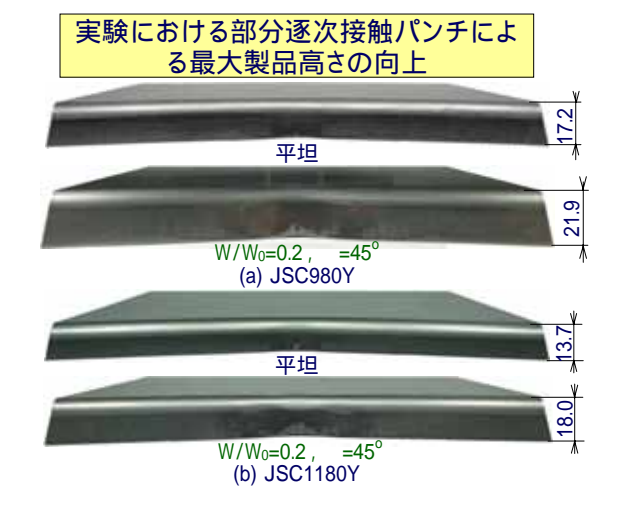


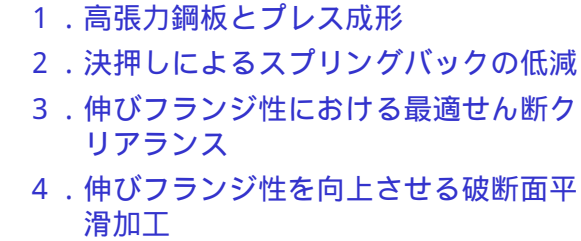
逐次接触パンチによる長手方向の引張りひずみ分布 (JSC780, α =10 $^{\circ}$, W/W $_{0}$ =1.0 , L=18mm)



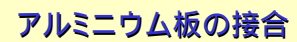




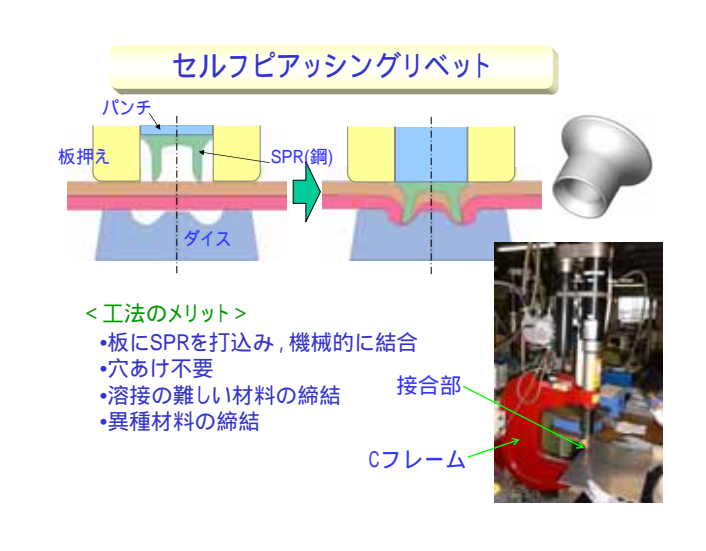


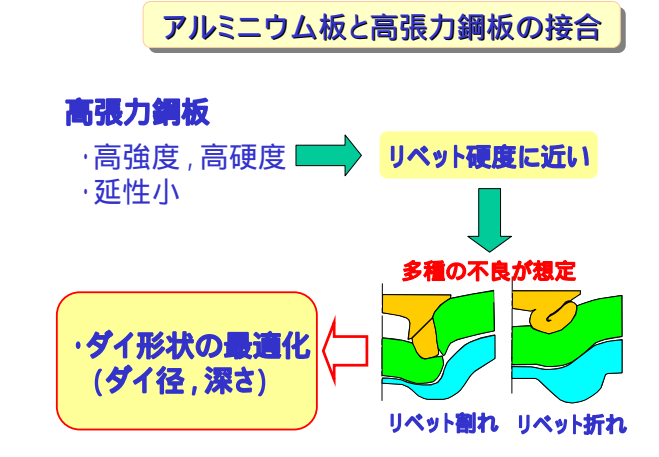


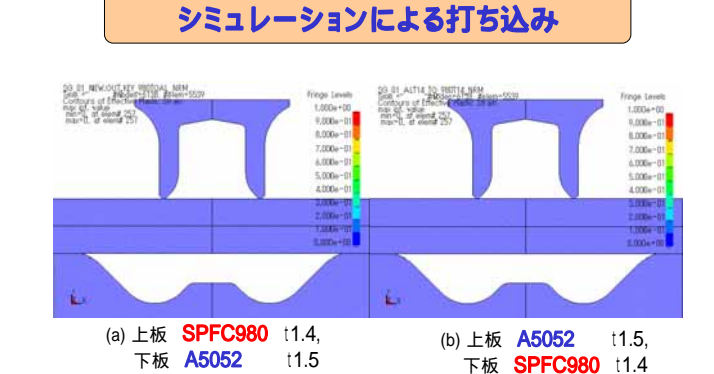
- 5.伸びフランジ性を向上させる逐次接触 パンチ
- 6 . 高張力鋼板とアルミニウム合金板の塑 性接合













- 1. 高張力鋼板とプレス成形
- 2.決押しによるスプリングバックの低減
- 3.伸びフランジ性における最適せん断ク リアランス
- 4.伸びフランジ性を向上させる破断面平滑加工
- 5.伸びフランジ性を向上させる逐次接触 パンチ
- 6. 高張力鋼板とアルミニウム合金板の塑 性接合

超高張力鋼成形品の熱間プレス成形

豊橋技術科学大学 森謙一郎

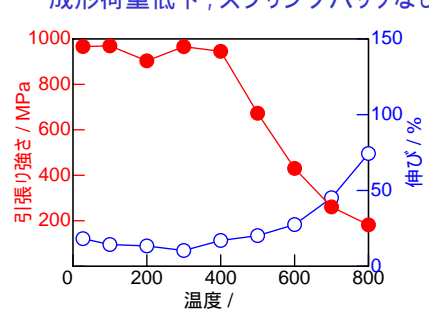


1.熱間プレス成形

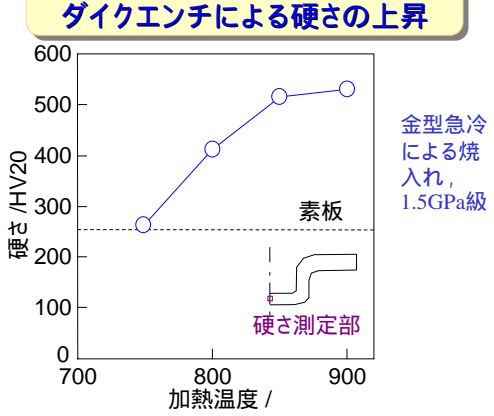
- 2.通電型内加熱を用いた温・熱間プレス成形
- 3 . 熱間プレス成形における局部ダイクエ ンチ
- 4.熱間プレス成形におけるプレコートスケール抑制剤による表面酸化の低減
- 5.通電加熱を用いた歯形容器の温・熱間 スプライン成形
- 6.温・熱間せん断加工

超高張力鋼板の高温引張り特性

成形荷重低下,スプリングバックなし



熱間プレス加工における ダイクエンチによる硬さの ト昇



フォルクスワーゲン,パサート





フォルクスワーゲン パサート, 骨格 部材の16%が熱間プレス加工

アイシン高丘における熱間プレス成形品



熱間プレス加工、ホットスタンピング





熱間プレス加工,ホットスタンピング





熱間プレス加工の特徴

長所

- 成形荷重低下
- スプリングバックなし
- 1.5GPa級成形品

短所

- 表面酸化
- 大型設備:加熱炉
- 低い生産性

- 1.熱間プレス成形
- 2.通電型内加熱を用いた温・熱間プレス成形
- 3 . 熱間プレス成形における局部ダイクエ ンチ
- 4.熱間プレス成形におけるプレコートスケール抑制剤による表面酸化の低減
- 5. 通電加熱を用いた歯形容器の温・熱間 スプライン成形
- 6.温・熱間せん断加工

通電型内加熱を用いた温・熱間プレス成形]



通電加熱

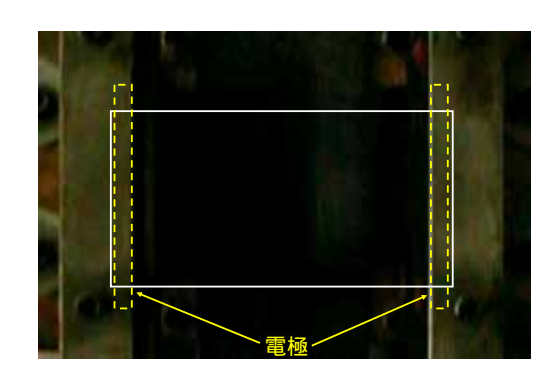


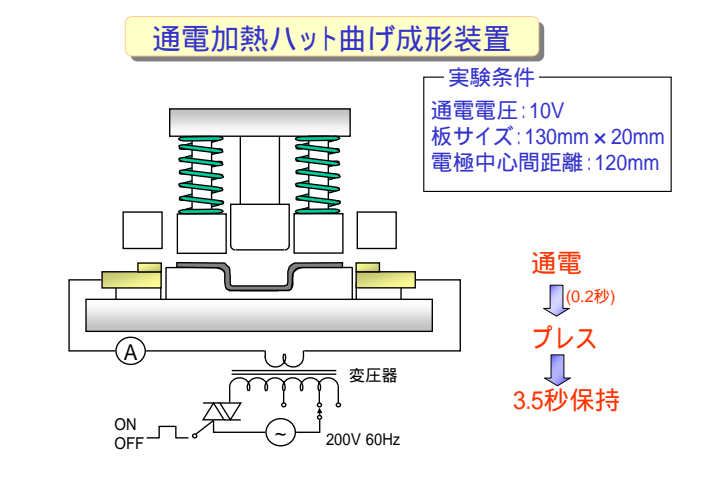
利点

- 小さい温度低下
- プレス作業との同期
- 少ない酸化スケール
- 高い加熱効率

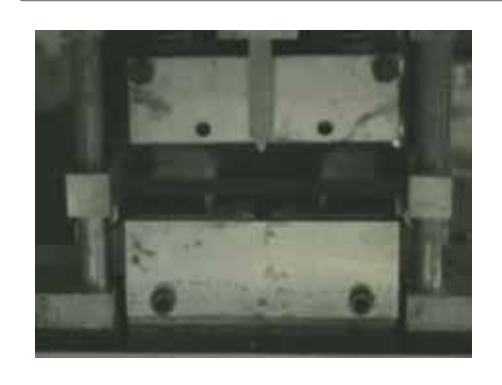
加熱,成形

通電加熱の映像 (SPFC980)



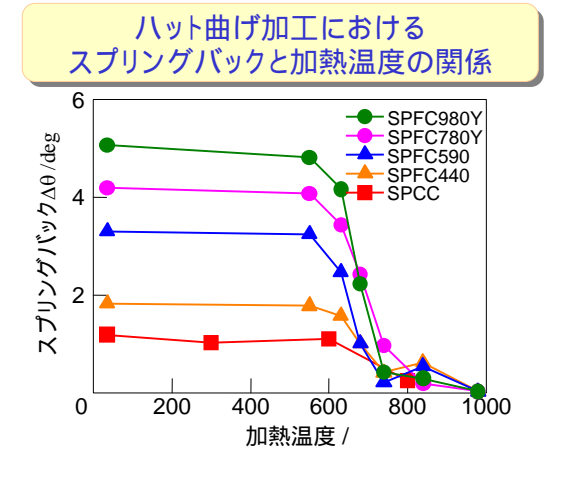


980℃における通電加熱ハット曲げ成形

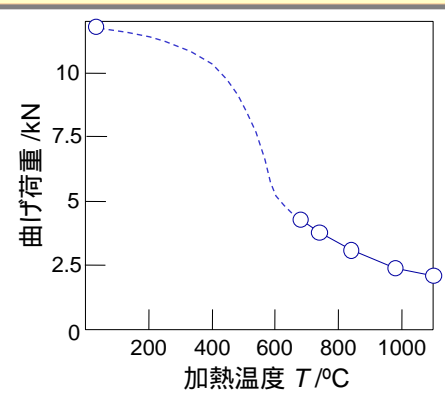


ハット曲げの成形体(SPFC980Y)





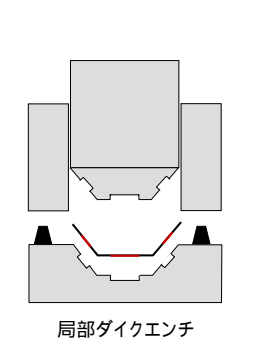
ハット曲げ加工における加工荷重と加熱温度の関係



- 1.熱間プレス成形
- 2.通電型内加熱を用いた温・熱間プレス成形
- 3 . 熱間プレス成形における局部ダイクエ ンチ
- 4.熱間プレス成形におけるプレコートスケール抑制剤による表面酸化の低減
- 5. 通電加熱を用いた歯形容器の温・熱間 スプライン成形
- 6.温・熱間せん断加工



局部ダイクエンチ



ダイクエンチ

成形と同時に焼入れ 高強度 応 後加工困難

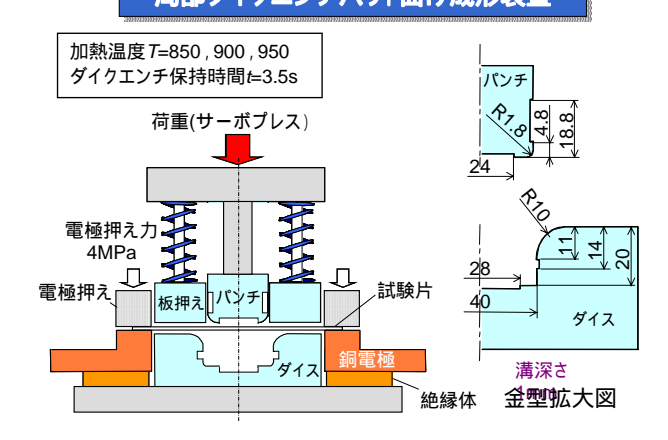


強度差をつけた製品の成形



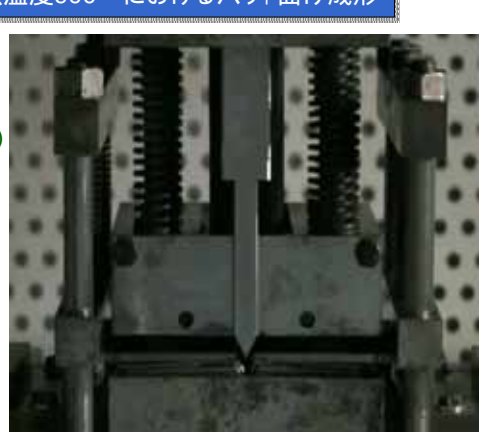
局部ダイクエンチ 金型との局部的な接触による 部分焼入れ

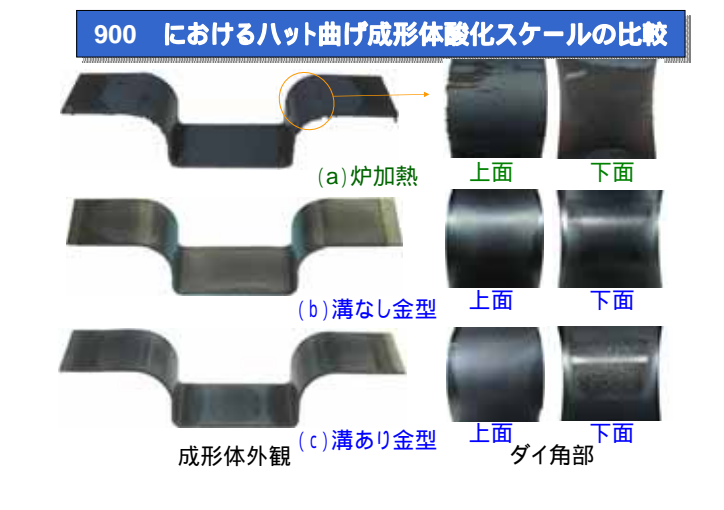
局部ダイクエンチハット曲げ成形装置



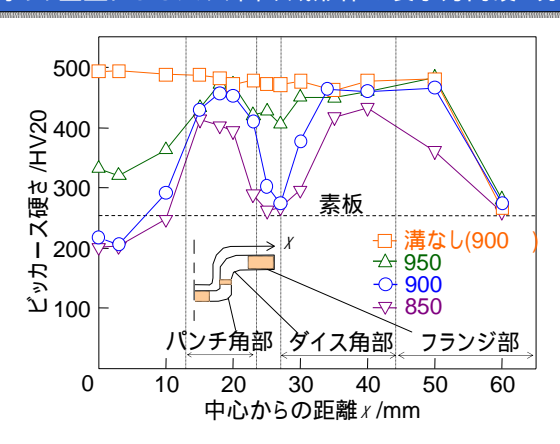
加熱温度900 におけるハット曲げ成形



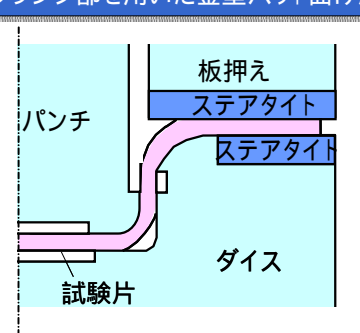




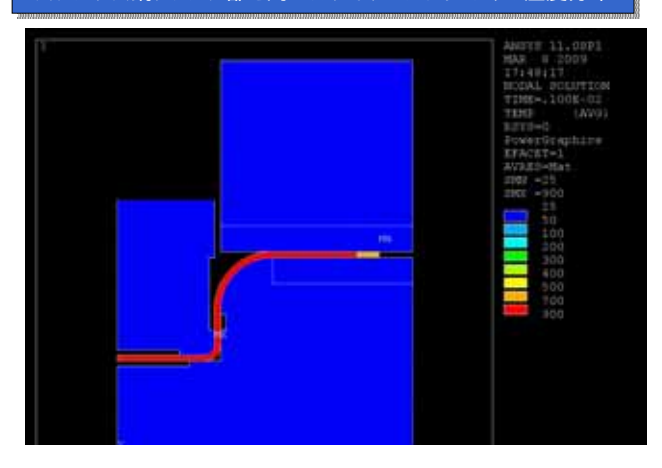
溝あり金型によるハット曲げ成形体の長手方向硬さ分布



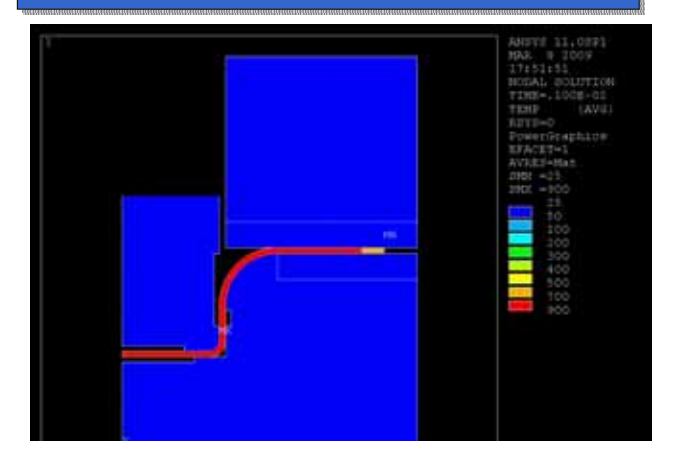
セラミックスフランジ部を用いた金型ハット曲げ成形



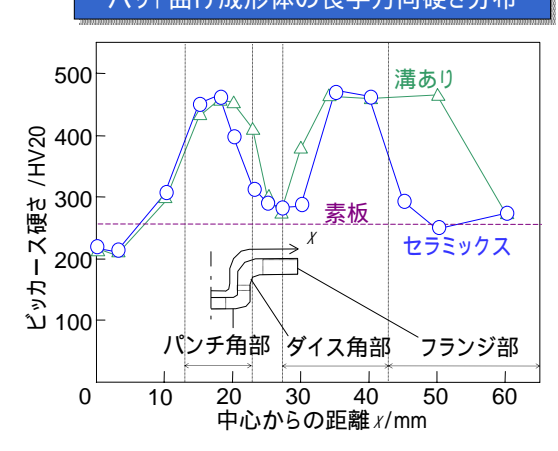
ステンレス鋼フランジ部を用いたダイクエンチにおける温度分布



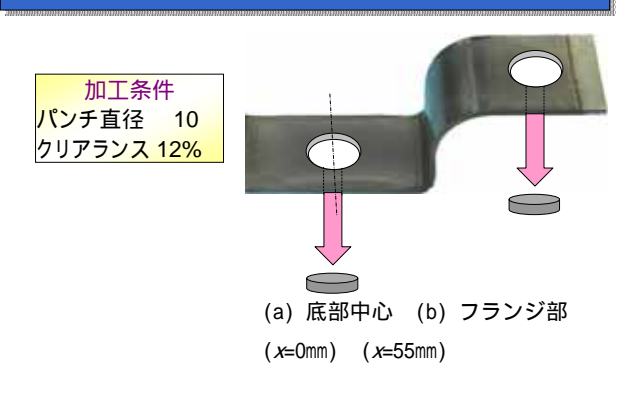
セラミックスフランジ部を用いたダイクエンチにおける温度分布

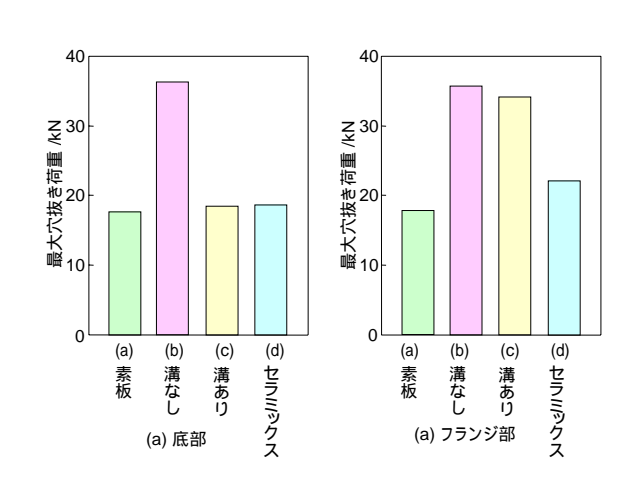


ハット曲げ成形体の長手方向硬さ分布



900 のハット曲げ成形品の底部中心の穴抜き加工





- 1.熱間プレス成形
- 2.通電型内加熱を用いた温・熱間プレス 成形
- 3 . 熱間プレス成形における局部ダイクエ ンチ
- 4.熱間プレス成形におけるプレコートスケール抑制剤による表面酸化の低減
- 5. 通電加熱を用いた歯形容器の温・熱間 スプライン成形
- 6.温・熱間せん断加工

プレコートスケール抑制剤

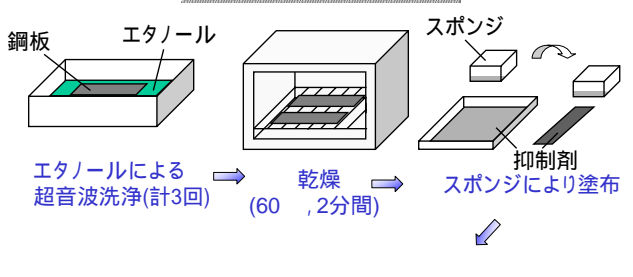


炉加熱による 熱間プレス成形品

大きな酸化

抑制剤	Α	В
潤滑剤	ステンレス鋼板 温間プレス成形	チタン板 温間プレス成形
防錆元素	K,B,C,Na	K,B,C,Na,P,Ca
タイプ	液化皮膜	液化皮膜

抑制剤塗布方法



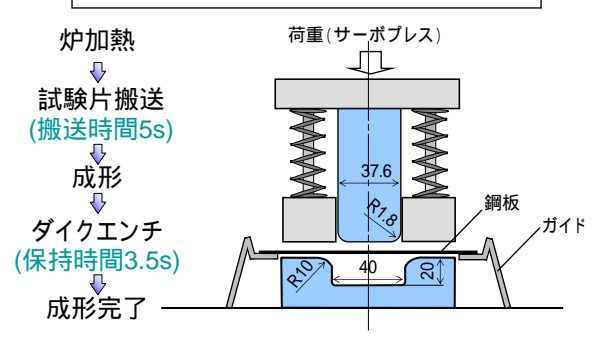
乾燥終了後 実験



乾燥 (60 ,2分間)

プレコート抑制剤を用いたハット曲げ成形実験条件

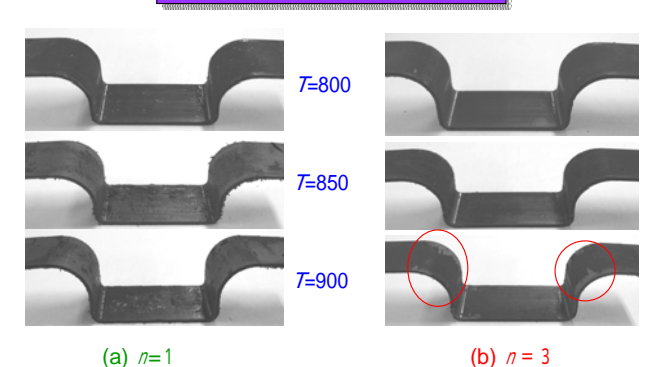
加熱温度: 600, 700, 800, 850, 950, 950 試験片:長さ130mm, 幅20mm, 板厚1.2mm



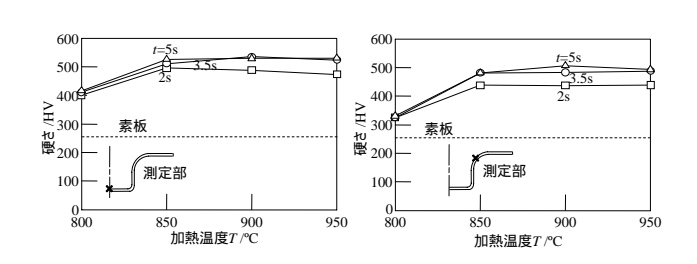
T=950 におけるハット曲げ成形実験



ハット曲げ成形体外観



ハット曲げ成形体断面組織

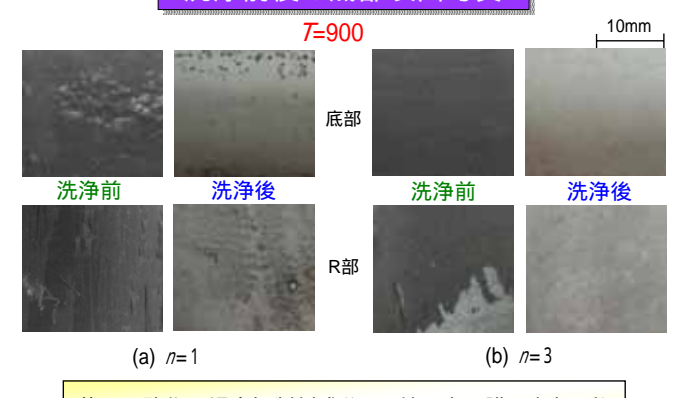


洗浄試験

成形後、鋼板表面に塗布された 抑制剤を洗浄する

リン酸(10%,70)2分間浸す 成形品

洗浄前後の底部表面写真



若干の酸化の場合抑制剤成分と一緒に表面膜も除去可能

- 1.熱間プレス成形
- 2.通電型内加熱を用いた温・熱間プレス成形
- 3 . 熱間プレス成形における局部ダイクエ ンチ
- 4. 熱間プレス成形におけるプレコートスケール抑制剤による表面酸化の低減
- 5. 通電加熱を用いた歯形容器の温・熱間 スプライン成形
- 6.温・熱間せん断加工

通電加熱を用いた歯形容器の温・熱間スプライン成形

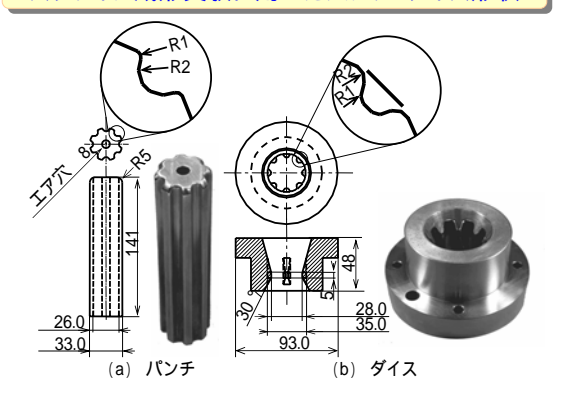




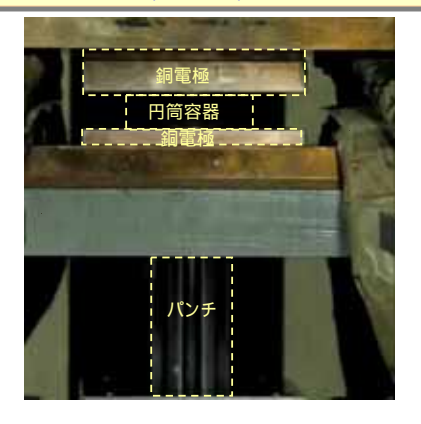
通電加熱特性の調査および 熱間歯形成形への適用

円筒端部からの給電による通電加熱 ////// 電極 絞り・しごき加工 温度 / -1000 -950 900 スプライン 断面積一定 成形領域 -850 長方形ブランク -800 **⊢**750 通電 -700 銅電極 -650 円筒の通電加熱法 台形ブランク

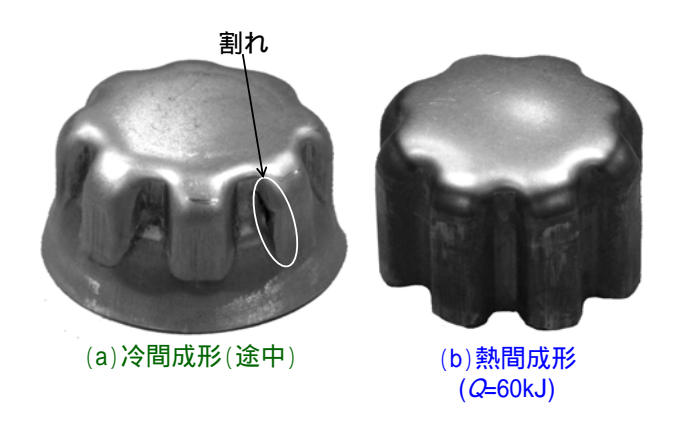
スプライン成形実験に用いたパンチ・ダイス形状



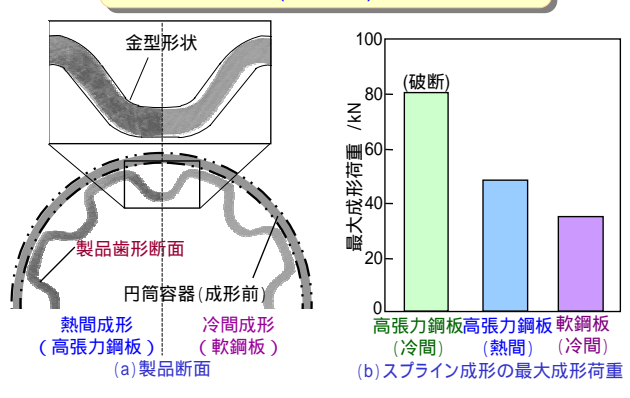
通電加熱を用いた熱間スプライン成形の様子 (*Q*=60kJ)



スプライン成形後の高張力鋼容器外観



スプライン成形後の高張力鋼容器断面 (*Q*=60kJ)



- 1.熱間プレス成形
- 2.通電型内加熱を用いた温・熱間プレス成形
- 3 . 熱間プレス成形における局部ダイクエ ンチ
- 4.熱間プレス成形におけるプレコートスケール抑制剤による表面酸化の低減
- 5. 通電加熱を用いた歯形容器の温・熱間 スプライン成形
- 6.温・熱間せん断加工

超高張力鋼板の温・熱間せん断加工

- 高張力鋼板の適用 -高強度·軽量化



穴抜き加工

- 高張力鋼板の冷間せん断加工・



パンチ肩部 破損・寿命:低

現状:レーザー加工,ワイヤーカット

局部通電加熱穴抜き加工の適用 加工荷重の低減

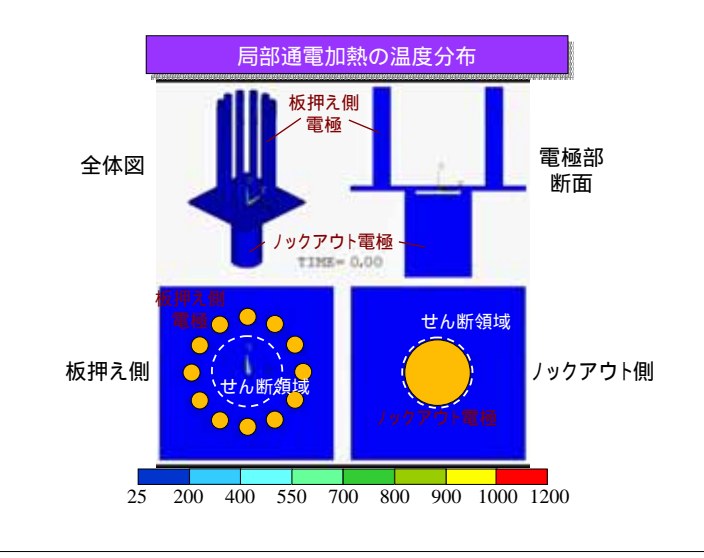
温・熱間穴抜き加工における問題点と局部加熱法



局部通電加熱せん断加工法



局部通電加熱せん断加工装置 荷重(サ<u>ーボ</u>プレス) スプリング パンチ (19.8) \先端SR60 板押え側電極 絶縁体 鋼板(50mm×50mm) 直流電流値 板厚t=1.4mm , 2.6mmを使用 7.0kA 19.0 ダイス (20.0 ~ 20.5) 1.0.1 ノックアウト側電極 パンチ速度=150mm/sec



電極の冷却における温度分布板押え側板押え側大ックアウト電極板押え側25 200 400 550 700 800 900 1000 1200

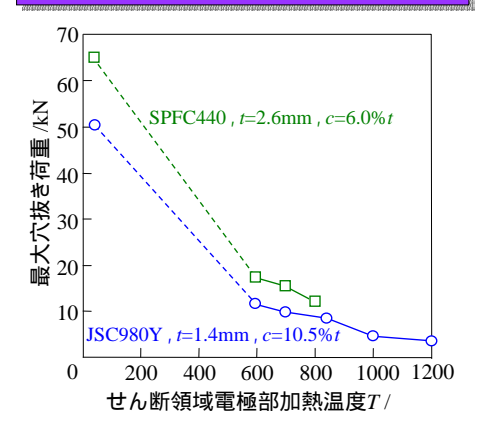
局部通電加熱せん断加工

加熱の為に鋼板加圧 → 加熱 →せん断加工

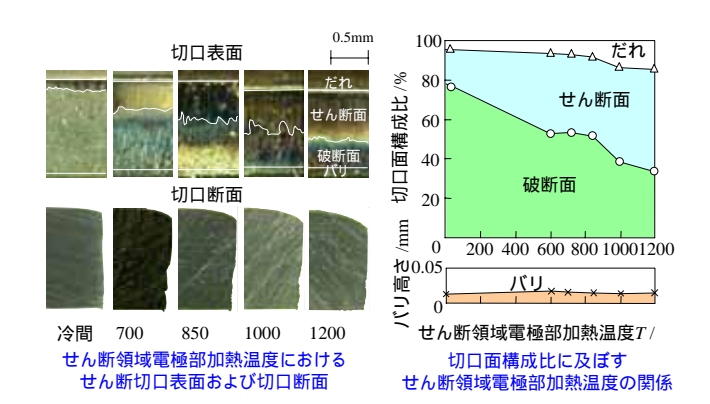


JSC980Y , t=1.4mm , T=1200 (1.6sec) パンチ速度 150mm/s , クリアランスc=10.5%t

最大穴抜き荷重に及ぼす鋼板加熱温度の関係



板厚1.4mmのJSC980Y鋼板の穴抜き加工後切口面(c=10.5%t)



- 1. 超高張力鋼板
- 2.通電型内加熱を用いた温・熱間プレス成形
- 3 . 熱間プレス成形における局部ダイクエ ンチ
- 4. 熱間プレス成形におけるプレコートスケール抑制剤による表面酸化の低減
- 5.通電加熱を用いた歯形容器の温・熱間 スプライン成形
- 6.温・熱間せん断加工

マグネシウム合金板の冷間プレス成形

豊橋技術科学大学 森 謙一郎

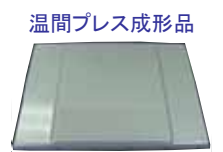
100kg軽量:1km/l燃費向上

- 高張力鋼板(7.8)
- チタン(4.5)
- アルミニウム(2.7)
- マグネシウム(1.8)



マグネシウム合金部品の製造

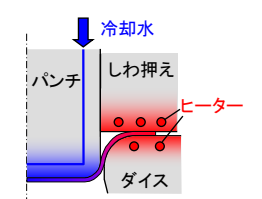
	マグネシウム 合金板 (AZ31)	アルミニウム 合金板 (A5052)	軟鋼板 (SPCC)
引張強度 / MPa	250	290	340
比重	1.8	2.7	7.8
比強度 / MPa	139	107	44



○ダイカスト

薄肉化, 高強度化 生産性向上

○プレス成形



- 1. マグネシウム合金板の機械的特性
- 2. 冷間円筒・角筒深絞り加工, 曲げ加工
- 3. 小さな底角半径を持つ角筒容器の冷間 2段プレス成形法

市販マグネシウム合金板の冷間深絞り加工



市販材に対し、冷間において 深絞り加工を行う 成形性の評価 成形性の向上

焼なまし処理による成形性の変化 (絞り比=1.32)





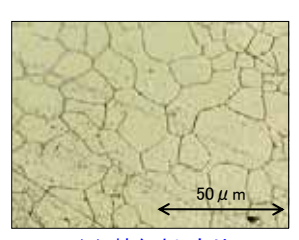


(b)焼なまし有り(500°C, 1h)

焼なまし処理による組織の変化



(a) 焼なまし無し

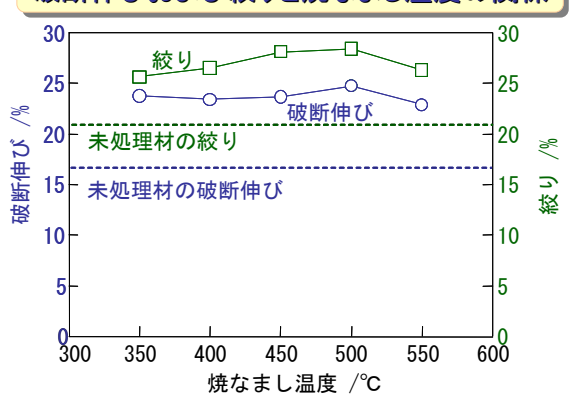


(b) 焼なまし有り

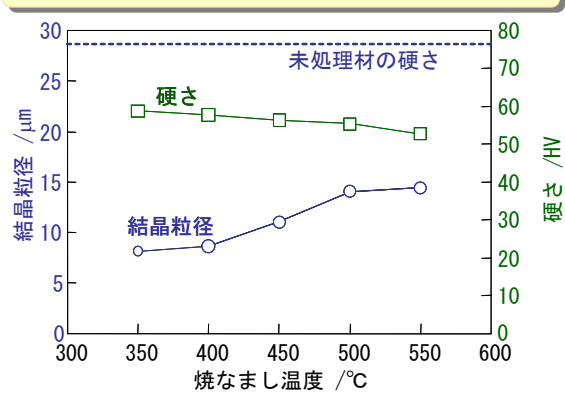
マグネシウム合金板の機械的性質

	焼なまし無し	焼なまし有り 500℃, 1h
耐力 / MPa	214	153
引張強さ/MPa	274	247
ビッカース硬さHv	61.6	55.5
伸び / %	17.6	22.4
r値	1.33	1.50
n値	0.14	0.32
絞り比=1.32	0	10mm

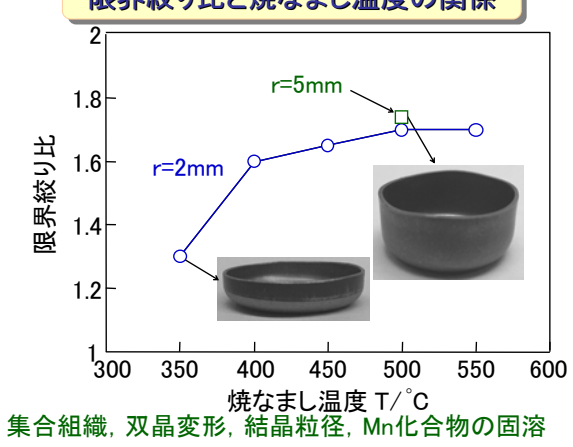
破断伸びおよび絞りと焼なまし温度の関係



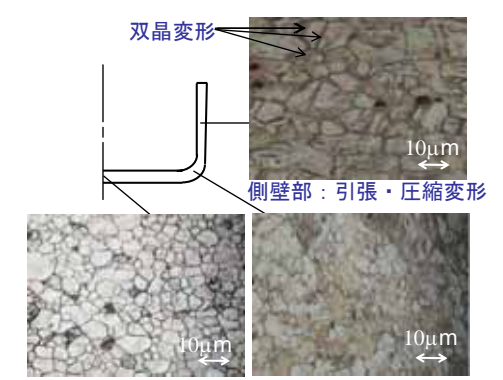
結晶粒径および硬さと焼なまし温度の関係



限界絞り比と焼なまし温度の関係



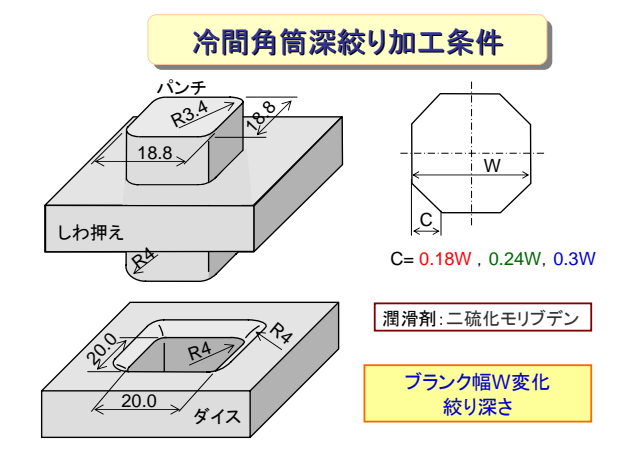
深絞り容器の各部における組織写真

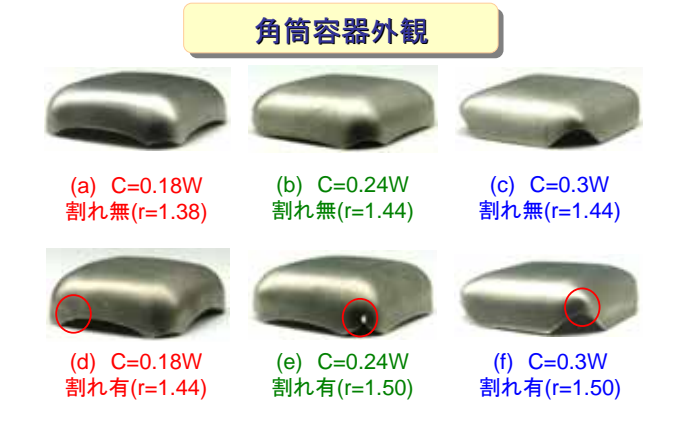


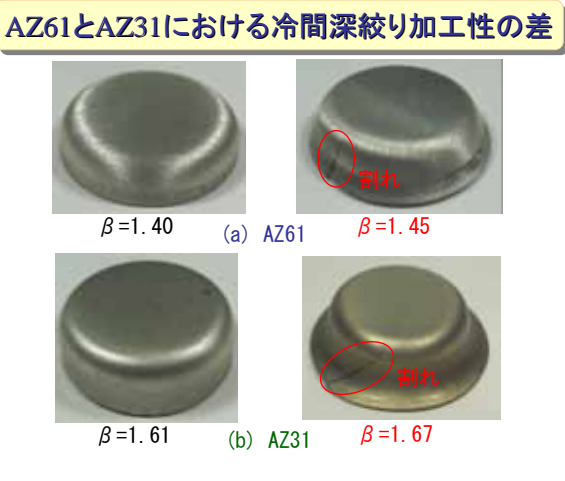
パンチ底部: 少ない変形 パンチ角部: 引張・引張変形

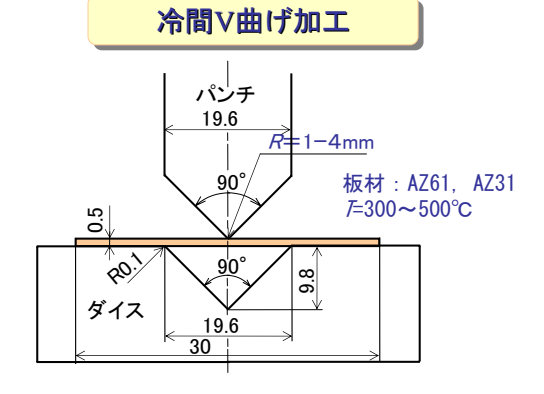
- 1. マグネシウム合金板の機械的特性
- 2. 冷間円筒・角筒深絞り加工, 曲げ加工
- 3. 小さな底角半径を持つ角筒容器の冷間 2段プレス成形法

円筒容器外観写真 (a) 割れ無 (b) 割れ無 (Rp=2mm, r=1.70) (Rp=5mm, r=1.70) 10mm (c) パンチ肩部での割れ (d) フランジ端部での割れ (Rp=2mm, r=1.75) (Rp=5mm, r=1.75)









冷間曲げ加工性

O:クラック無し ×:クラック有り

× × × 0

焼なまし温度 /℃ 常温 300 400 500

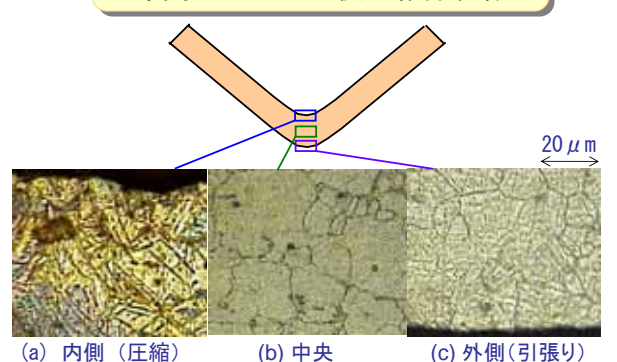
> 0 0

× ×

1/		焼なまし温度 /℃				
ťΑ		常温	300	400	500	
半径比 R/t	4.0	0	0	0	0	
翡	2.0	×	×	×	0	
于先	1.6	×	×	×	×	
3	1.0	×	×	×	×	
`						

常温	300	400	500	بد		常温	300	400
0	0	0	0	谷	4.0	0	0	0
×	×	×	0	非	2.0	×	×	×
×	×	×	×	チ先端半径比 <i>A</i>	1.6	×	×	×
×	×	×	×	3	1.0	×	×	×
(a)	AZ	31				(b) A	Z61

AZ61, T=500℃における 冷間型曲げ加工後の結晶組織

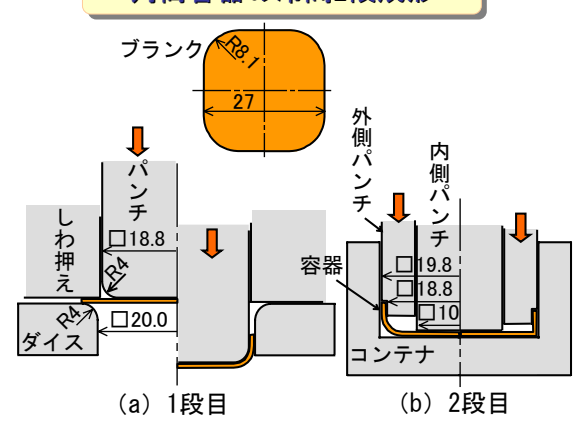


- 1. マグネシウム合金板の機械的特性
- 2. 冷間円筒・角筒深絞り加工, 曲げ加工
- 3. 小さな底角半径を持つ角筒容器の冷間 2段プレス成形法

これまでの冷間深絞り加工実験結果



角筒容器の冷間2段成形



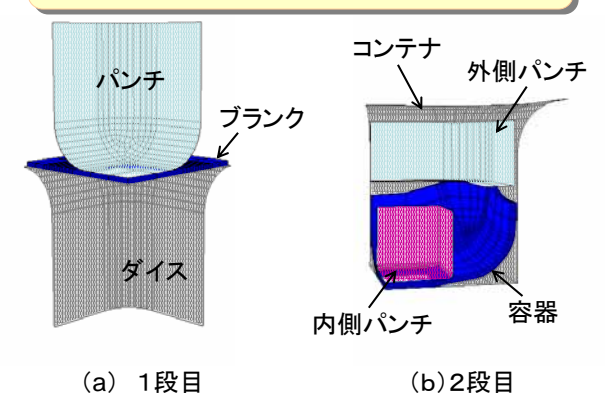
角筒容器の限界絞り比



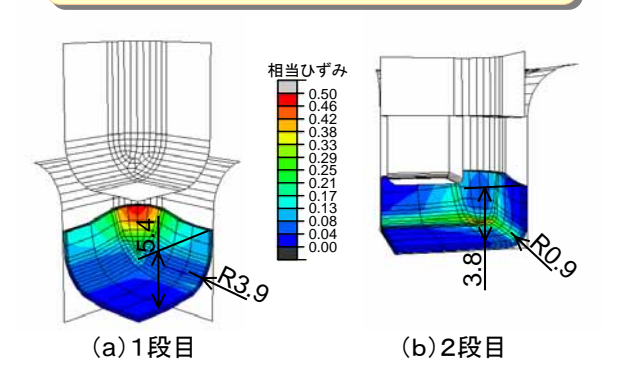


(a) $\beta = 1.44$ (b) $\beta = 1.49$

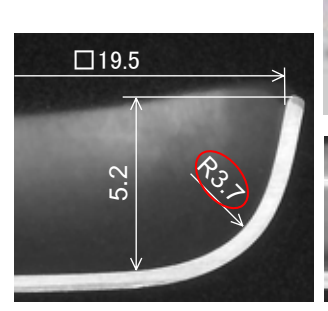
平頭パンチを用いた冷間2段角筒成形の 有限要素シミュレーション結果



平頭パンチを用いた冷間2段角筒成形の 有限要素シミュレーション結果



2段成形された角筒容器の平行方向断面実験結果



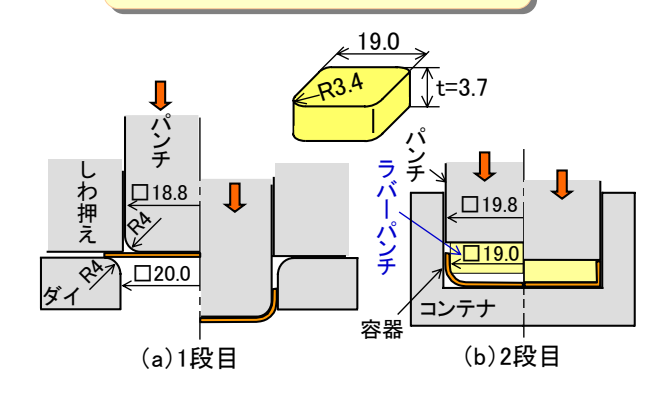




(a) 1段目

(b) 2段目(s=2.8mm)

2段目にゴムパンチを用いた 角筒容器の冷間2段プレス成形



角筒容器の精度向上実験結果





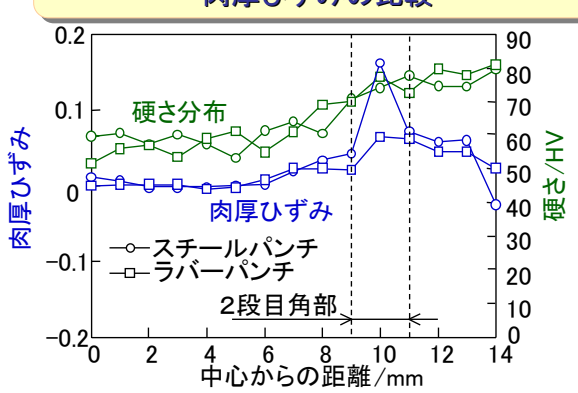


(a) スチールパンチ (s=2.8mm)



(b) ゴムパンチ (s=3.0mm)

スチールパンチとラバーパンチの硬さおよび 肉厚ひずみの比較



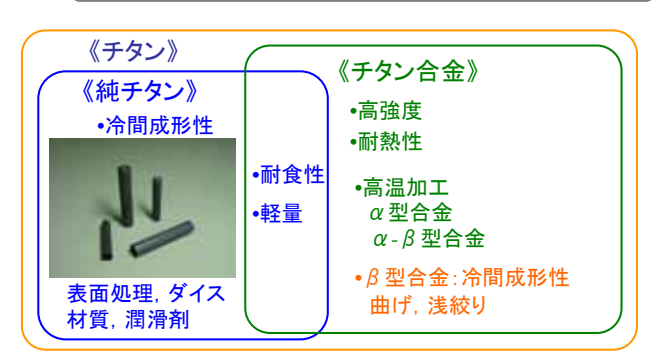
マグネシウムプレス成形、まとめ

成形性向上:500℃の高温焼なまし

2段プレス成形:底角半径の小さい容器を 成形できた。



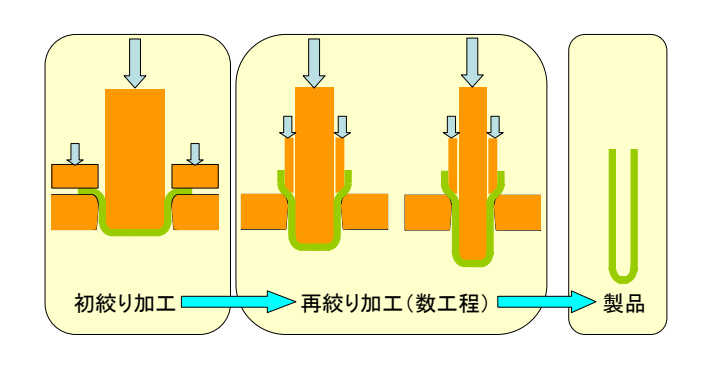
純チタン、チタン合金容器の冷間プレス成形



チタン材料

チタン	材種	結晶構造	加工	特徴・用途
純チタン	JIS1種, 2種	稠密六方	冷間	●耐食性,成形性●熱交換プレート,建材
α合金	Ti-5AI- 2.5Sn	稠密六方	熱間	•耐熱性 •オートバイマフラー
α-β 合金	Ti-6Al- 4V	稠密六方 体心立方	熱間	•強度, 靭性 •航空機部品
β合金	Ti-15V- 3Cr- 3Sn-3Al	体心立方	冷間	●高強度●ゴルフクラブヘッド

多段深絞り加工



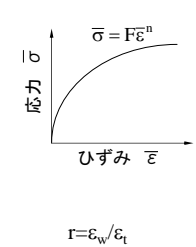
- 1. 純チタン板の多段深絞り加工における焼付き防止
- 2. β型チタン合金板の多段深絞り加工 における割れ防止

純チタン板の性質

冷間加工

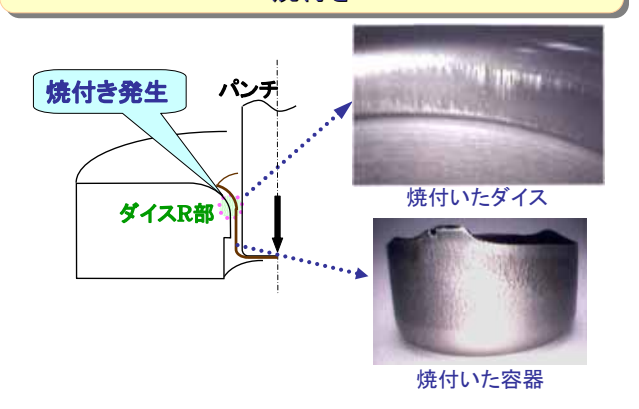
	n値	r値
純チタン1種	0.148	5.28
純チタン2種	0.145	4.27
釖	0.238	1.32
純アルミ	0.243	0.62
ステンレス鋼	0.404	1.01

引張り試験



n値, r値大: 深絞り性大

高い親和性の純チタン板の深絞り加工における 焼付き



焼付き防止のための表面皮膜



- 陽極酸化皮膜処理
- 大気酸化皮膜処理
- 市販材(カラーチタン、窒化チタン)

超硬合金ダイスにおける陽極酸化皮膜による 焼付き防止





1段焼付き (a) 皮膜処理なし |段 2段 3段 4段 5段焼付き (b) 皮膜処理



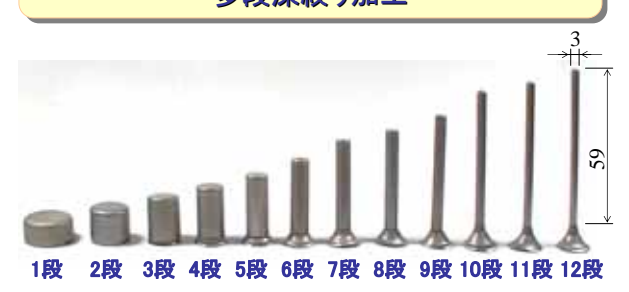
1段 2段 3段 4段 5段 6段 7段焼付き (c) 皮膜処理 + エッチング処理

アルミ青銅ダイスによる焼付き防止

・焼付き防止効果が高い



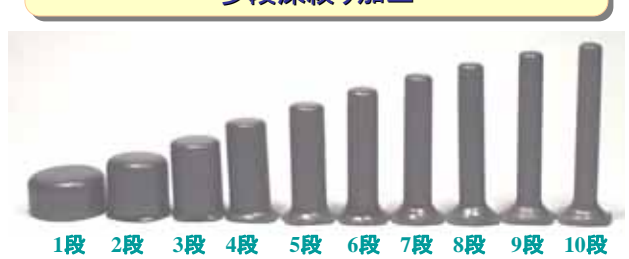
陽極酸化皮膜とアルミ青銅ダイスを用いた 多段深絞り加工



大気酸化皮膜処理

エメリー研磨 #120, 240, 400, 800 大気酸化皮膜処理 炉中で500℃, 600℃ 0.5~8時間

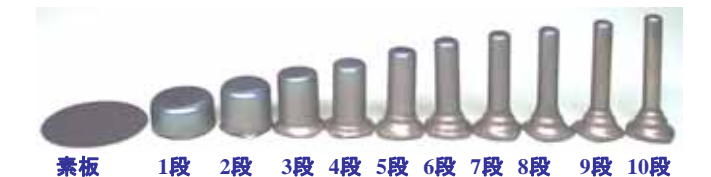
大気酸化皮膜とアルミ青銅ダイスを用いた 多段深絞り加工



市販材料の利用 「陽極酸化皮膜処理 大気酸化皮膜処理 大気酸化皮膜処理 生産工程において 大きな負担 量産化 ・カラーチタン板 ・窒化チタン板 皮膜処理済み

カラー純チタン板 (JIS2種) (a)皮膜なし (b)17.5V (c)30V (d)60V (e)80V

カラーチタン板を用いた多段深絞り加工



皮膜処理された純チタン板

皮膜処理法	窒化皮膜	陽極酸化皮膜 (カラー純チタン)
処理条件	窒素雰囲気焼鈍	処理電圧 80V
皮膜厚さ	窒化皮膜 2.2μm	酸化皮膜 0.29 μ m
材種	純チタンJIS1種	純チタンJIS2種
ブランク	直径 φ32.3mr	n 板厚 0.5mm





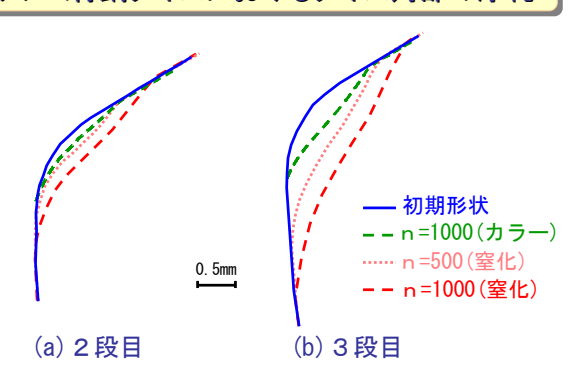
(a) 窒化皮膜

(b) カラー純チタン

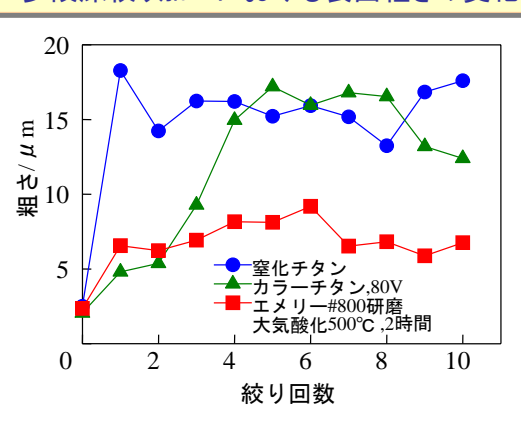
窒化皮膜チタン板を用いた多段深絞り加工



アルミ青銅ダイスにおけるダイス角部の摩耗



多段深絞り加工における表面粗さの変化



高耐食性チタンケースを用いた温度センサー (㈱野口製作所製)



- 1. 純チタン板の多段深絞り加工における焼付き防止
- 2. β型チタン合金板の多段深絞り加工 における割れ防止

冷間プレス成形できるチタン合金板

チタン合金	β型	α型
主要成分	Ti-15V-3Cr-3Sn-3Al	Ti−1.5Al
引張強さ/MPa	821	467
全伸び / %	21	35
F値 / MPa	930	718
n値 / MPa	0.04	0.16
硬さ / HV	277	224

チタン合金板の絞り容器



(a) β型, r=1.25



(c) α型, r=1.25



(b) β型, r=1.5 5mm ←→

β型チタン合金板

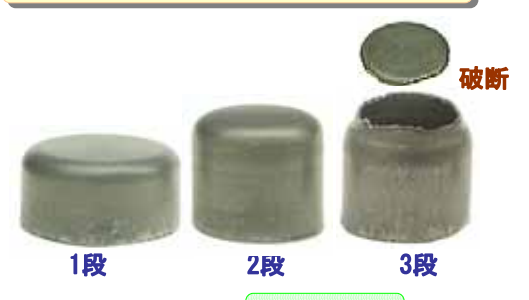


大気酸化皮膜処理	結晶粒 / μ m
無し(t=1.0mm)	89. 5
600°C-60min	54. 3
750°C-5min	68. 8
800°C-5min	83. 6

大気酸化皮膜処理 直径 32.3mm チタン合金板 板厚 0.5mm

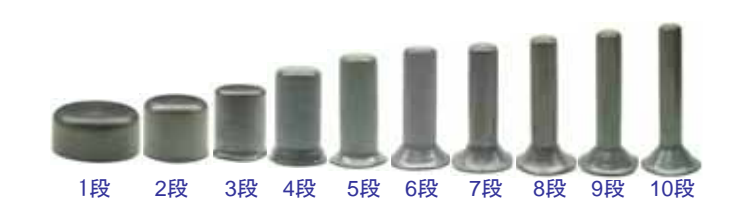
実験材料	引張り強さ	全伸び	n値
Ti-15V-3AI-3Cr-3Sn	804MPa	15. 5	0.08

600℃,60min 大気酸化皮膜処理

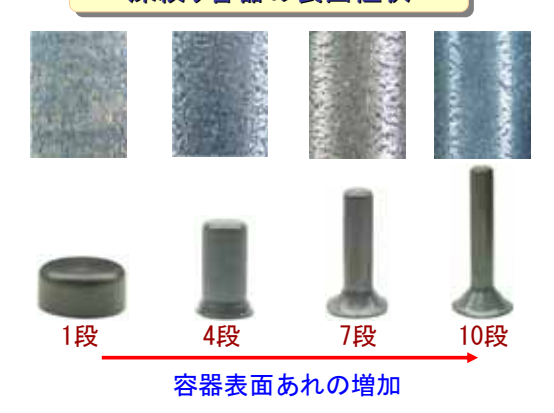


加工限界:2段 低い延性

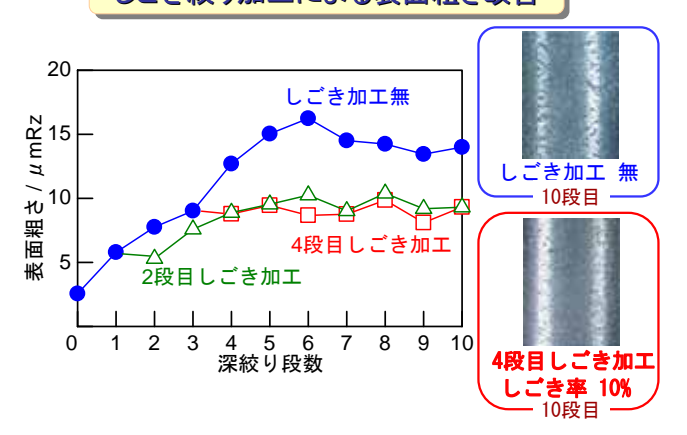
750℃, 5min 大気酸化皮膜処理



深絞り容器の表面性状



しごき絞り加工による表面粗さ改善



チタン深絞り加工, まとめ

焼付き防止:陽極・大気酸化皮膜, カラー・窒化 チタン, アルミ青銅ダイス

β型チタン合金:750~800℃の大気酸化皮膜処理,延性の回復

多段絞り加工可能